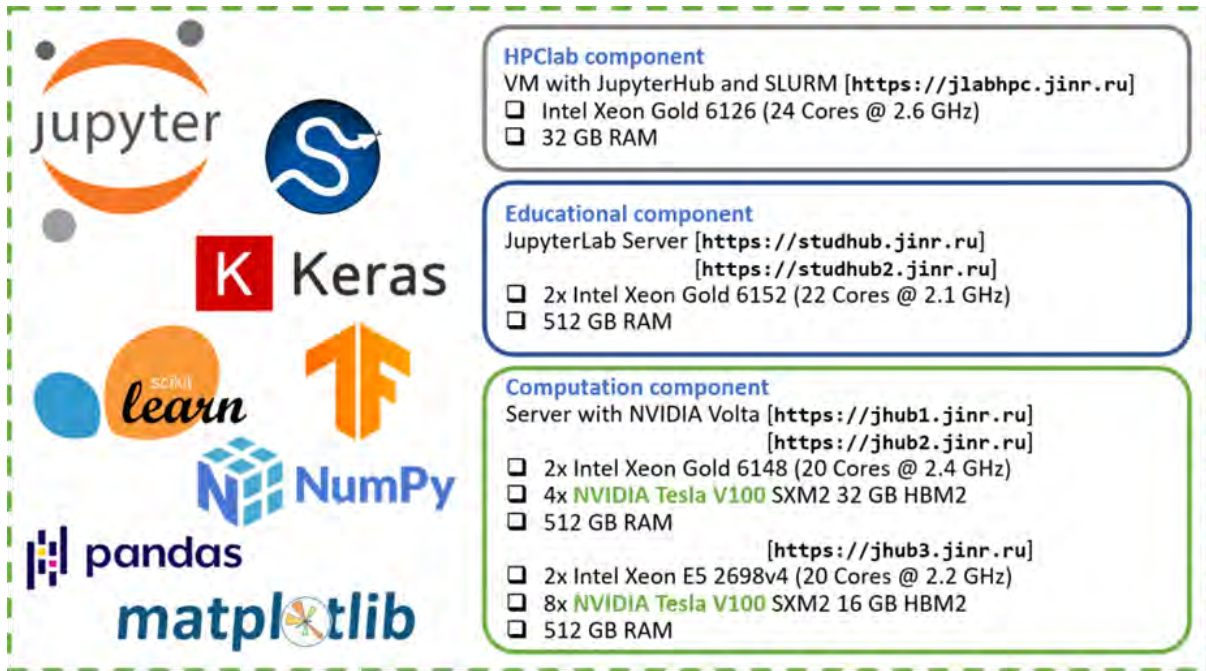




Практическое занятие Инструментарий на основе Python-библиотек и экосистемы Jupyter для решения научных и прикладных задач

Башакин М.В., Бежанян Т.Ж., Бутенко Ю.А., Воронцов А.С., Зуев М.И., Киракосян М.Х.,
Матвеев М.А., Нечаевский А.В., Пряхина Д.И., Рахмонов И.Р., Рахмонова А.Р., Стрельцова О.И.

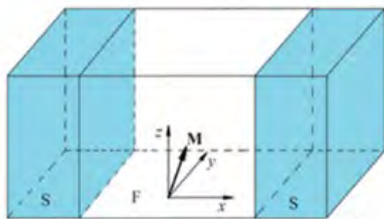
Экосистема ML/DL/HPC гетерогенной платформы HybriLIT [<http://hlit.jinr.ru>]



The diagram shows the HybriLIT ecosystem components, including logos for Jupyter, SciPy, Keras, scikit-learn, TensorFlow, NumPy, pandas, and matplotlib. It is divided into three main sections:

- HPClab component**: VM with JupyterHub and SLURM [<https://jlabhpc.jinr.ru>]
 - Intel Xeon Gold 6126 (24 Cores @ 2.6 GHz)
 - 32 GB RAM
- Educational component**: JupyterLab Server [<https://studhub.jinr.ru>] [<https://studhub2.jinr.ru>]
 - 2x Intel Xeon Gold 6152 (22 Cores @ 2.1 GHz)
 - 512 GB RAM
- Computation component**: Server with NVIDIA Volta [<https://jhub1.jinr.ru>] [<https://jhub2.jinr.ru>] [<https://jhub3.jinr.ru>]
 - 2x Intel Xeon Gold 6148 (20 Cores @ 2.4 GHz)
 - 4x NVIDIA Tesla V100 SXM2 32 GB HBM2
 - 512 GB RAM
 - 2x Intel Xeon E5 2698v4 (20 Cores @ 2.2 GHz)
 - 8x NVIDIA Tesla V100 SXM2 16 GB HBM2
 - 512 GB RAM

План занятия



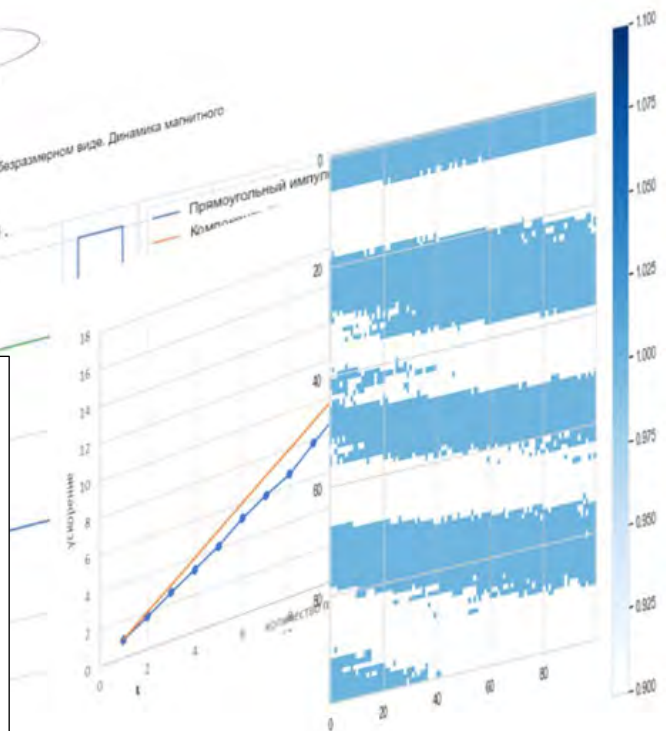
Математическая постановка задачи

Основные уравнения представлены в работе [1]. Ниже приведена задача Коши для системы уравнений в безразмерном виде. Динамика магнитного момента M рассматриваемой системы описывается уравнением Ландау-Лифшица-Гильберта:

$$\frac{dm_x}{dt} = -\frac{1}{1 + M^2 a^2} (m_x H_z - m_y H_y + \alpha m_x (M \cdot H) - H_x)$$

$$\frac{dm_y}{dt} = \frac{1}{M^2 a^2} (m_x H_z - m_y H_y + \alpha m_x (M \cdot H) + H_x)$$

- Визуализация в Python – библиотеки **matplotlib**, **seaborn**
- Численное решение задачи Коши – библиотека **SciPy**
- Моделирование переворота намагниченности в Φ_0 джозефсоновском переходе
- Ускорение вычислений – библиотека **Joblib**
библиотека **numba**



Инструментарий на Python для решения научных и прикладных задач

Создание функций

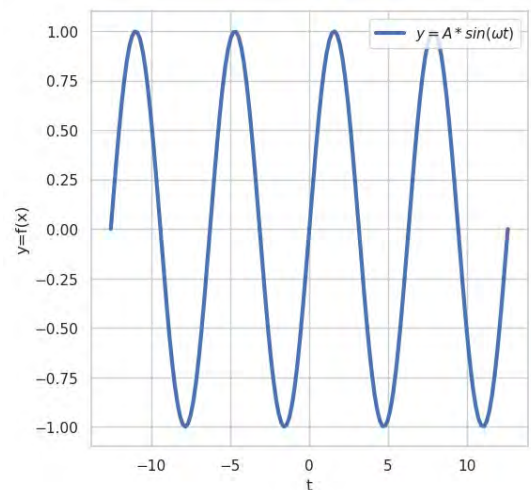
```
def f_sin(t, A, omega):  
    ''' Определяет значение функции A*sin(omega*t),  
        A, omega - параметры'''  
    return (A*np.sin(omega*t))
```

Библиотека NumPy добавляет поддержку больших многомерных массивов и матриц, вместе с большой библиотекой высокоуровневых математических функций.

```
import numpy as np # подключение библиотеки  
a = np.array([1, 2, 3]) # создание одномерного массива  
x = np.arange(0, 30, 2) # создание одномерного массива с числами от 0 до 30 с шагом 2  
x = np.linspace(0, 2*np.pi, 100, endpoint=True) # создание одномерного массива с числами от 0 до 2π с количеством точек 100
```

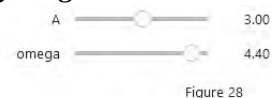
Построение графиков – библиотеки matplotlib, seaborn

```
# подключение библиотеки matplotlib  
import matplotlib.pyplot as plt  
%matplotlib inline  
  
# подключение библиотеки seaborn  
import seaborn as sns  
sns.set()  
sns.set(style="whitegrid")  
  
t = np.linspace(-4*np.pi, 4*np.pi, 150, endpoint=True)  
  
# размеры графика  
fig = plt.figure(figsize=(6, 6))  
# отрисовка графика по координатам x и y  
plt.plot(t, f_sin(t, A, omega),  
label='$y=A*\sin(\omega t)$', linewidth=3.0)  
plt.xlabel('x', size=12) # подпись оси x  
plt.ylabel('y', size=12) # подпись оси y  
plt.legend(loc='upper right') # добавление легенды  
plt.show() # отображение графика
```

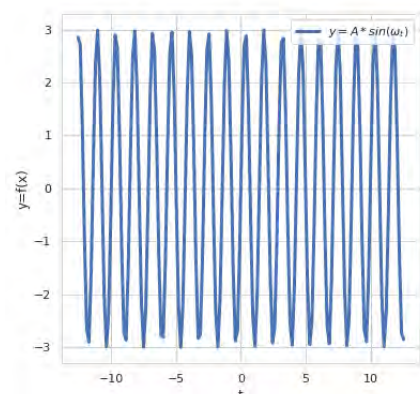


Интерактивное управление в Jupyter Notebook – библиотека ipywidgets

```
# подключение библиотеки ipywidgets  
import ipywidgets as widgets  
from ipywidgets import interact, interact_manual, Label  
%matplotlib widget
```



```
@interact  
def show_sin(A=(1.0, 5.0, 1.0), omega=(0.1, 5.0, 0.1)):  
    t = np.linspace(-4*np.pi, 4*np.pi, 150, endpoint=True)  
    fig = plt.figure(figsize=(6, 6))  
    plt.plot(t, f_sin(t, A, omega),  
label='$y=A*\sin(\omega t)$', linewidth=3.0)  
    plt.xlabel('t')  
    plt.ylabel('y=f(x)')  
    plt.legend(loc='upper right')  
    plt.show()
```



Численное решение задачи Коши: библиотека SciPy

Пример 1. Численно решить задачу Коши

$$\begin{cases} dy/dt = y \cos(t), \\ y(0) = y_0, \end{cases}$$

имеющее аналитическое решение

$$y_{exact} = y_0 e^{\sin(t)}.$$

- Определяем правую часть уравнения

```
def F_right(t, y):  
    ''' Определяет правую часть ДУ,  
        примера 1'''  
    return y*np.cos(t)
```
- Определяем параметры численного счета

```
t0 = 0  
tf = 10  
nt = 1000  
# Массив точек, в которых будет находится решение  
t_e = np.linspace(t0, tf, nt)  
# Начальное условие  
y0 = np.array([3])
```

- Функция библиотеки **SciPy** для решения начальной задачи

```
sol_1 = solve_ivp(F_right, [t0, tf], y0, t_eval=t_e, method='RK45', rtol=1e-9, atol=1e-8)
```

F_right – правая часть дифференциального уравнения;
[t0, tf] – отрезок интегрирования;
y0 – начальное условие;
t_eval – точки сетки, в которых следует вычислить решение;
method – метод интегрирования;
rtol, atol – относительная и абсолютная погрешности.

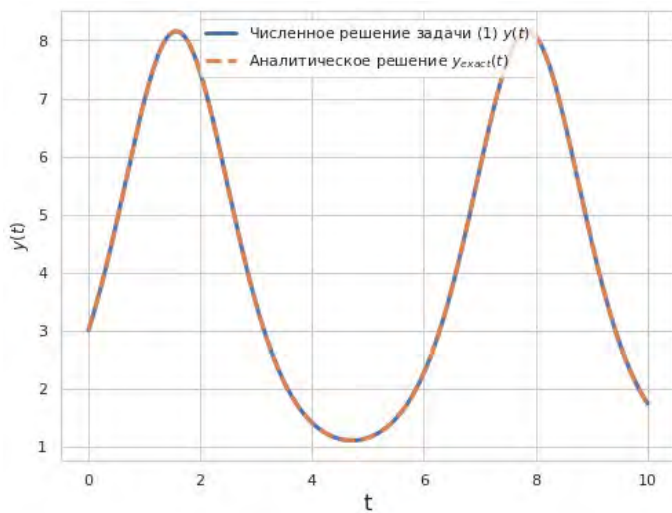


Рис. 1. График численного и аналитического решения

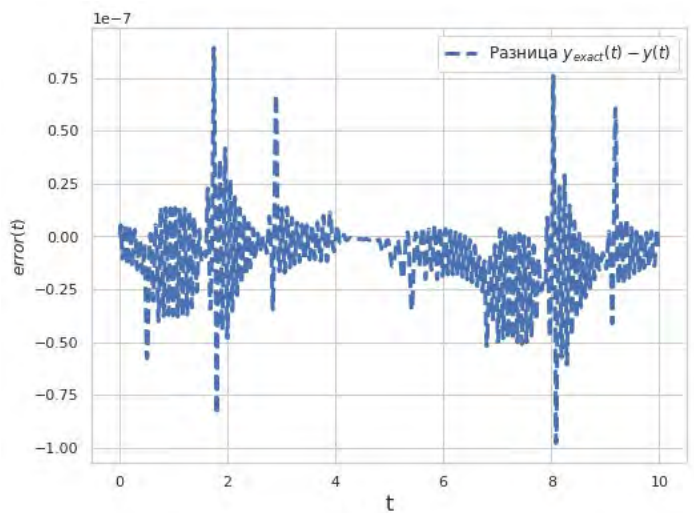


Рис. 2. Разница между аналитическим и численным решением

Пример 2. Численно решить задачу Коши

$$\begin{cases} dy/dt = y \cos(\omega t), \\ y(0) = y_0, \end{cases}$$

ω – параметр

имеющее аналитическое решение

$$y_{exact} = \begin{cases} y_0 e^{\frac{1}{\omega} \sin(\omega t)} & \text{при } \omega \neq 0, \\ y_0 e^t & \text{при } \omega = 0. \end{cases}$$

Отметим, что в модель входит параметр ω .

- Определяем правую часть уравнения


```
def F_right2(t, y, omega):
    ''' Определяет правую часть ДУ,
        примера 2,
        omega - параметр'''
    return y*np.cos(omega*t)
```

- Определяем параметры модели и численного счета


```
omega = np.pi/2
# Параметры численного счета
t0 = 0
tf = 10
nt = 1000
# Массив точек в которых будет находится решение
t_e = np.linspace(t0, tf, nt)
# Начальное условие
y0 = np.array([3])
```

- Для корректной передачи параметра в функцию SciPy воспользуемся функцией **partial** из модуля **functools**, которая *частично* применяет аргументы к вызываемой функции.


```
f = partial(F_right2, omega=omega)
t_e = np.linspace(t0, tf, nt)
sol_2 = solve_ivp(f, [t0, tf], y0, t_eval=t_e, method='RK45', rtol=1e-9, atol=1e-8)
```

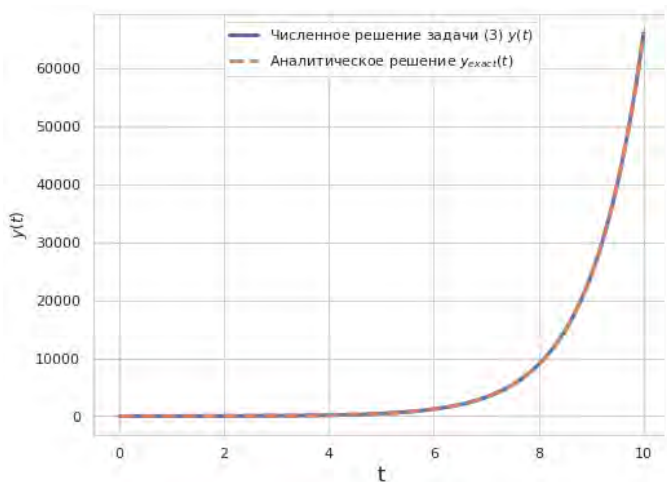


Рис. 3. График численного и аналитического решения примера 2 при $\omega = 0$

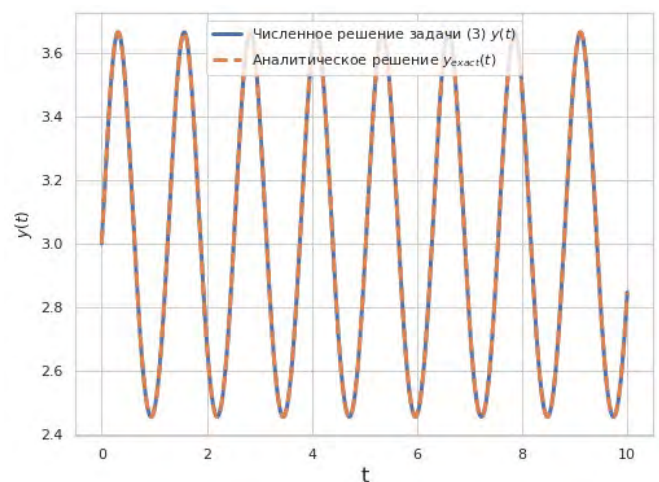


Рис. 4. График численного и аналитического решения примера 2 при $\omega = 5$

Моделирование переворота намагниченности в φ_0 джозефсоновском переходе

В качестве примера рассмотрим задачу о реализации переворота намагниченности в так называемом φ_0 джозефсоновском переходе под воздействием импульса тока и вычисления периодичности появления интервалов переворота намагниченности с изменением параметров модели.

Основные понятия

Джозефсоновский переход – это связь двух сверхпроводящих слоев посредством тонкого слоя несверхпроводящего барьера, в котором при пропускании электрического тока в зависимости от его величины наблюдается *стационарный* и *нестационарный эффект Джозефсона*.

Стационарный эффект Джозефсона. При пропускании тока I ниже критического значения I_c ($I < I_c$) в джозефсоновском переходе отсутствует напряжение ($V = 0$) и через переход течет сверхпроводящий ток I_s . Данный ток пропорционален синусу разности фаз φ параметров порядка (волновой функции или функции состояния) сверхпроводящих слоев

$$I_s = I_c \sin \varphi \quad (1)$$

Это выражение называется ток фазовое соотношение джозефсоновского перехода.

Нестационарный эффект Джозефсона. При увеличении тока I выше критического значения I_c ($I > I_c$) возникает переменное напряжение V в переходе, и оно пропорционально производной разности фаз по времени t

$$V = \frac{\hbar}{2e} \frac{d\varphi}{dt}, \quad (2)$$

где \hbar – постоянная Планка, e – заряд электрона.

φ_0 джозефсоновский переход. Если в качестве несверхпроводящего барьера использовать ферромагнитный слой со спинорбитальным взаимодействием и с нарушением симметрии относительно обращения времени, то на токфазовом соотношении (сверхпроводящем токе) возникает фазовый сдвиг φ_0 .

$$I_s = I_c \sin(\varphi - \varphi_0), \quad (3)$$

где φ_0 зависит от намагниченности. Такой переход называется φ_0 джозефсоновским переходом.

Система уравнений

В φ_0 джозефсоновском переходе (Рис. 4) динамическими переменными являются разность фаз φ сверхпроводящих слоев и вектор намагниченности \mathbf{M} ферромагнитного слоя. Согласно резистивной модели, уравнение для разности фаз пишется как сумма сверхпроводящего и квазичастичного (одноэлектронного) токов через переход.

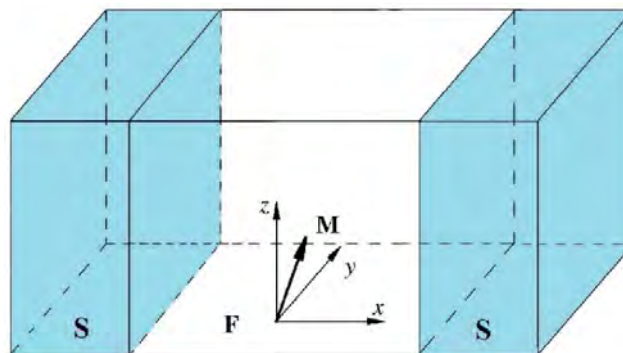


Рис. 5. Схематический вид φ_0 – джозефсоновского перехода; S и F – сверхпроводниковые и ферромагнитный слои, соответственно, \mathbf{M} – вектор намагниченности ферромагнитного слоя, легкая ось которого направлена вдоль оси z . Импульс внешнего тока направлен вдоль оси x .

$$I = \frac{\hbar}{2eR} \left(\frac{d\varphi}{dt} - \frac{d\varphi_0}{dt} \right) + I_c \sin(\varphi - \varphi_0), \quad (4)$$

где R – сопротивление джозефсоновского перехода.

Динамика вектора намагниченности описывается уравнением Ландау-Лифшица-Гильберта

$$\frac{d\mathbf{M}}{dt} = -\gamma [\mathbf{M} \times \mathbf{H}_{\text{eff}}] + \frac{\alpha}{M_0} \left[\mathbf{M} \times \frac{d\mathbf{M}}{dt} \right], \quad (5)$$

где γ – гиромангнитное отношение, α – гильбертовское затухание, M_0 – величина насыщения намагниченности или модуль вектора \mathbf{M} . Здесь \mathbf{H}_{eff} обозначает вектор эффективного магнитного поля, которое определяется выражением

$$\mathbf{H}_{\text{eff}} = \frac{K}{M_0} \left[Gr \sin \left(\varphi - r \frac{M_y}{M_0} \right) \mathbf{e}_y + \frac{M_z}{M_0} \mathbf{e}_z \right], \quad (6)$$

где G – отношение энергии Джозефсона к энергии магнитной анизотропии, r – параметр спин-орбитального взаимодействия, \mathbf{e}_y , \mathbf{e}_z – единичные вектора. Здесь учтено, что $\varphi_0 = r M_y / M_0$.

Разрешая уравнение (1) относительно $d\mathbf{M}/dt$ и учитывая уравнение для разности фаз (4), можно записать замкнутую систему уравнений

$$\begin{cases} \frac{d\mathbf{M}}{dt} = -\Omega_F \left[1 + \left(\alpha \frac{\mathbf{M}}{M_0} \right)^2 \right]^{-1} \left\{ \frac{M_0}{K} [\mathbf{M} \times \mathbf{H}_{\text{eff}}] + \frac{\alpha}{K} [\mathbf{M} (\mathbf{M} \mathbf{H}_{\text{eff}}) - \mathbf{H}_{\text{eff}} \mathbf{M}^2] \right\}, \\ \frac{d\varphi}{dt} = \frac{r}{M_0} \frac{dM_y}{dt} + \frac{2eR}{\hbar} \left[I - I_c \sin \left(\varphi - r \frac{M_y}{M_0} \right) \right], \end{cases} \quad (7)$$

учитывая, что $\mathbf{m} = \mathbf{M}/M_0$ (где $\mathbf{m}^2 = 1$), $\mathbf{h}_{\text{eff}} = M_0 \mathbf{H}_{\text{eff}}/K$, $\omega_F = \Omega_F/\omega_c$, где $\omega_c = (2eI_c R)/\hbar$ и, нормируя t на ω_c^{-1} , I на I_c получим систему уравнений в безразмерных величинах.

$$\begin{cases} \frac{d\mathbf{m}}{dt} = -\frac{\omega_F}{1+\alpha^2} \left([\mathbf{m} \times \mathbf{h}_{\text{eff}}] + \alpha [\mathbf{m} (\mathbf{m} \mathbf{h}_{\text{eff}}) - \mathbf{h}_{\text{eff}}] \right), \\ \frac{d\varphi}{dt} = r \frac{dm_y}{dt} + I - \sin(\varphi - rm_y), \end{cases} \quad (8)$$

где компоненты вектора \mathbf{h}_{eff} определяются выражениями $h_x = 0$, $h_y = rG \sin(\varphi - rm_y)$, $h_z = m_z$.

А в скалярном виде система уравнений записывается

$$\begin{cases} \frac{dm_x}{dt} = -\frac{\omega_F}{1+\alpha^2} \left\{ (m_y h_z - m_z h_y) + \alpha [m_x (m_x h_x + m_y h_y + m_z h_z) - h_x] \right\}, \\ \frac{dm_y}{dt} = -\frac{\omega_F}{1+\alpha^2} \left\{ (m_z h_x - m_x h_z) + \alpha [m_y (m_x h_x + m_y h_y + m_z h_z) - h_y] \right\}, \\ \frac{dm_z}{dt} = -\frac{\omega_F}{1+\alpha^2} \left\{ (m_x h_y - m_y h_x) + \alpha [m_z (m_x h_x + m_y h_y + m_z h_z) - h_z] \right\}, \\ \frac{d\varphi}{dt} = r \frac{dm_y}{dt} + I - \sin(\varphi - rm_y), \end{cases} \quad (9)$$

Начальное условие для этой системы задается в виде $m_x = 0$, $m_y = 0$, $m_z = 1$, $\varphi = 0$.

Внешний ток задается в виде прямоугольного импульса

$$I = I(t) = \begin{cases} A_s, & t \in [t_s - \Delta t / 2, t_s + \Delta t / 2], \\ 0, & \text{otherwise.} \end{cases} \quad (10)$$

где A_s – амплитуда и Δt продолжительность импульса тока, t_s – середина импульса.

Параметры модели: G – отношение энергии Джозефсона к энергии магнитной анизотропии; r – константа спин-орбитального взаимодействия; α – параметр диссипации Гильберта; ω_F – частота ферромагнитного резонанса.

Начальные условия предполагают, что все компоненты магнитного момента, кроме m_z , равны нулю:

$$\text{IC: } m_x(0) = 0, m_y(0) = 0, m_z(0) = 1, \phi(0) = 0.$$

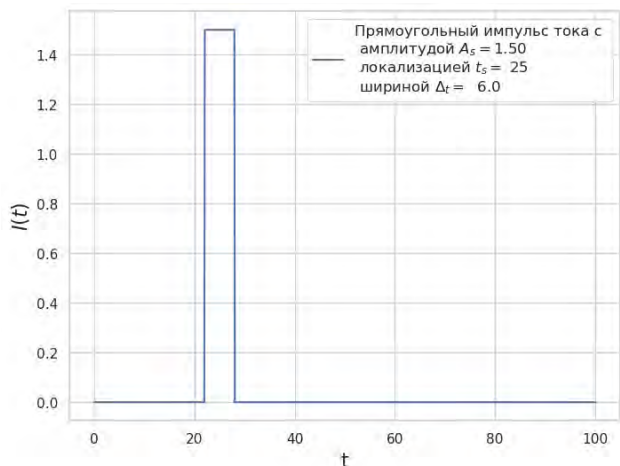


Рис. 6. Прямоугольный импульс тока

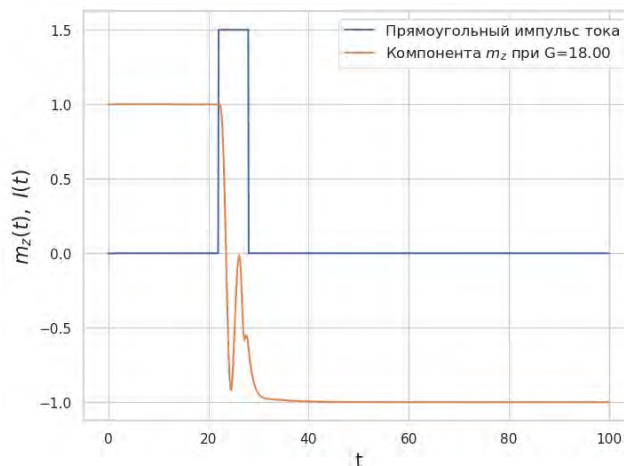


Рис. 7. Импульс тока и график, показывающий переворот компоненты m_z магнитного момента

Ускорение вычислений с использованием библиотеки Joblib

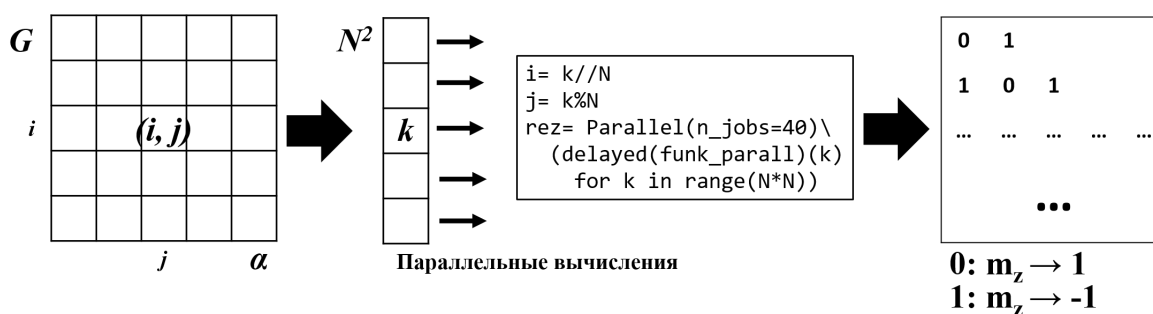


Рис. 8. Схема распараллеливания задачи с применением библиотеки Joblib

Для ускорений вычислений при моделировании переворота намагниченности в плоскости параметров (G, α) или (G, r) можно использовать библиотеку Joblib.

<pre># подключение библиотеки Joblib import joblib from joblib import Parallel, delayed</pre>	<pre># доступное количество CPU потоков print(f"Number of CPU: {joblib.cpu_count()}") Out: Number of CPU: 80</pre>
<pre>rez = Parallel(n_jobs=10)(delayed(funk_parall)(k) for k in range(N * N))</pre> <ul style="list-style-type: none"> n_jobs – используемое количество потоков. Так же мы можем передать значение -1 для использования всех ядер или -2 для использования всех ядер, кроме одного. Функция delayed используется для отсрочки выполнения кода. Она используется для того, чтобы библиотека сформировала список вызова функций, которые нужно выполнить параллельно. Этот список затем передается в функцию Parallel, которая занимается параллельным выполнением задач. funk_parall – функция, вычисления в которой необходимо ускорить; k – входной параметр функции, по которому будет выполняться распараллеливание. 	

Периодичность появления интервалов переворота намагниченности в ϕ_0 джозефсоновском переходе под воздействием импульса тока

Ресурсоемкие вычисления при исследовании периодичности интервалов переворотов:

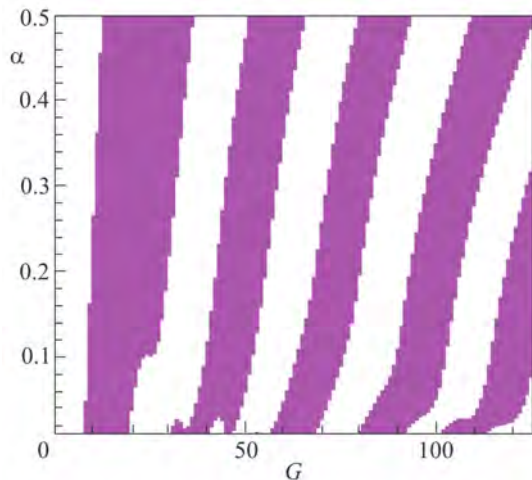


Рис. 9. Демонстрация периодичности интервалов переворота в плоскости (G, α) . Результаты получены с шагом $\Delta G = 1$ и $\Delta \alpha = 0.001$ при $A_s = 1.5$, $r = 0.1$, $t_0 = 25$, $\Delta t = 6$, $\omega_F = 1$

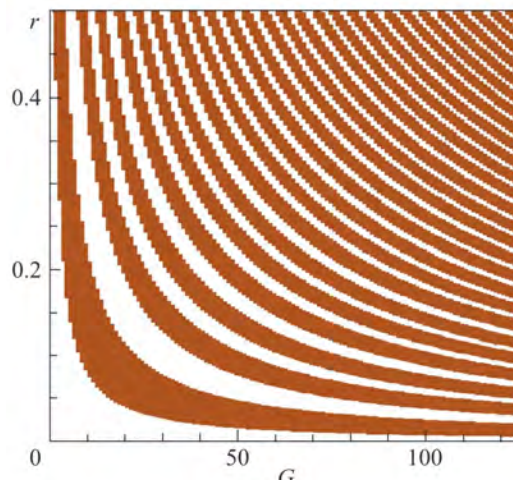


Рис. 10. Демонстрация периодичности интервалов переворота в плоскости (G, r) . Результаты получены с шагом $\Delta G = 1$ и $\Delta r = 0.001$ при $A_s = 1.5$, $\alpha = 0.1$, $t_0 = 25$, $\Delta t = 6$, $\omega_F = 1$

Ускорение вычислений с использованием библиотеки Numba

```
# подключение библиотеки Numba
import numba as nb

# подключение библиотеки numbalsoda
from numbalsoda import lsoda_sig, lsoda, dop853
from numba import njit, cfunc
```

- Библиотека **Numba** позволяет осуществлять JIT-компиляцию (Just-In-Time compilation, компиляция «точно в нужное время»). JIT-компиляция в процессе выполнения программы транслирует Python и NumPy код в быстрый машинный код.
- Декоратором `@njit` отмечается функция для оптимизации JIT-компилятором Numba.
- Декоратор `@njit(parallel=True)`. Добавление параметра `parallel=True` указывает на подключение автоматического распараллеливания и других оптимизаций для расчетов на CPU.

```
from numba import config, njit, threading_layer, set_num_threads, get_num_threads
# set the threading layer before any parallel target compilation
config.THREADING_LAYER = 'threadsafe'
```

```
@njit
def I_pulse(params):
    ...
    return out
```

```
@njit(parallel=True)
def comput_parallel(params):
    ...
    return out
```

SciPy `solve_ivp()`  `numbalsoda` `lsoda(funcptr, s0, t_e, rtol = 1e-8, atol = 1e-8, data = data)`



Ускорение с Joblib ~ 35 раз
Ускорение с Numba: `@njit + @njit(parallel=True)` ~ 300 раз